丝光坪锡矿地质特征及矿床成因初探

李 宗 Ŀ

(云南省地矿局第四地质大队。保山市)

丝 光 坪锡矿与次火山岩有关。在相对开放的钙硅酸盐环境下,形 成 高一中 温锡石一硫化物型及中低温锡石一蛋白石型复合 叠 加 锡 矿 床。文中并提出了找矿标志和找矿前景。

关量词:锡矿床;地质特征;云南省

地质概况

丝光坪锡矿位于三江构造带南段西缘, 即印度板块与欧亚板块碰撞带的俯冲带上, 区域出露地层为高黎贡山变质岩系。泥盆系 的砂板岩、灰石,石炭系浅变质砂板岩夹多 层含砾岩屑复矿物砂岩及少量灰岩, 二叠系 下统为块状白云岩(图1)。本区处于前华力 西期断褶隆起带与华力西期上叠断裂坳陷带 的交界部位。前者构造简单、主要为南北向 和北东向构造,分布干本区西部;后者构造 比较复杂,为北东向构造形成的微向东突出 的弧形带,褶皱断裂发育。燕山晚期一喜山 早期的花岗岩广泛分布。据时间和空间的分 布可分古永一老平山花岗岩带和槟榔江一来 利山花岗岩带,由东向西岩体时代变新。岩体 演化的总趋势为中性一中酸性一酸性岩。锡 矿与晚阶段酸性岩有关 (图1)。矿区出露地 层为石炭系中统丝光坪组的板岩、粉砂岩、 砂岩、灰岩等类复理石沉积,为一套浊积岩。 褶皱为一近南北向两翼不对称的背斜,西陡 东缓。断裂可分3组,以北西向组较发育, 为主要容矿构造、北东向次之。变质作用以 接触变质和动力变质作用为主。围岩蚀变较 发育,成矿前蚀变有阳起石化、绿泥石 化; 成矿期蚀变有硅化、黄铁矿化、绢云英 岩化、蛋白石化、碳酸盐化、高岭土化; 成 矿后蚀变有绢云母化、绿泥石化。

矿床特征

丝光坪锡矿体赋存于石炭系丝光坪组碎 屑岩中的北西向缓倾斜复式断裂带及东西向 陡倾斜裂隙中,呈似层状、脉状产出。整个 矿带断续延长2km以上, 宽20~50m。似层 状锡矿体产于北西向缓倾斜复式断裂带中, 有两层矿体,间距约220m。矿体在平面上 由北向南呈雁行状排列,在剖面呈迭瓦状分 布。脉状蛋白石富锡矿体,呈东西向陡倾斜 产出、规模不清。目前已发现5个矿体, V₁-4为似层 状 锡 矿 体, V₁-3矿 体 长50~ 100m, 倾斜延深40~150m, 厚1~11.35m. 锡品位0.55~3.52%, 为黄铁矿锡矿石。V. 为矿区主矿体,呈北西一南东延伸,长600m, 斜深100~400m, 矿体呈似层状赋存于断裂 破碎带中。矿体产状: 20~30°/∠20~35°, 矿层总趋势是向北倾伏, 向南翘起, 有波状 起伏现象,波峰部分矿体变薄,波谷部分矿 体增厚。矿体最 小 厚 度0.4m, 最 大 厚 度 30.93m,平均4.13m。锡品位最低 0.166%, 最高27.51%, 平均1.044%, 锡品位和厚度 一般呈正消长关系。 矿体品 位变化系数 150.8%, 厚度变化系数为127%, 属于不均 匀及不稳定类型。

矿物组份较简单,金属矿物主要为锡石、 木锡石、黄铁矿、磁黄铁矿。次为黄铜矿、 磁铁矿、方铅矿、镜铁矿等。非金属矿物主

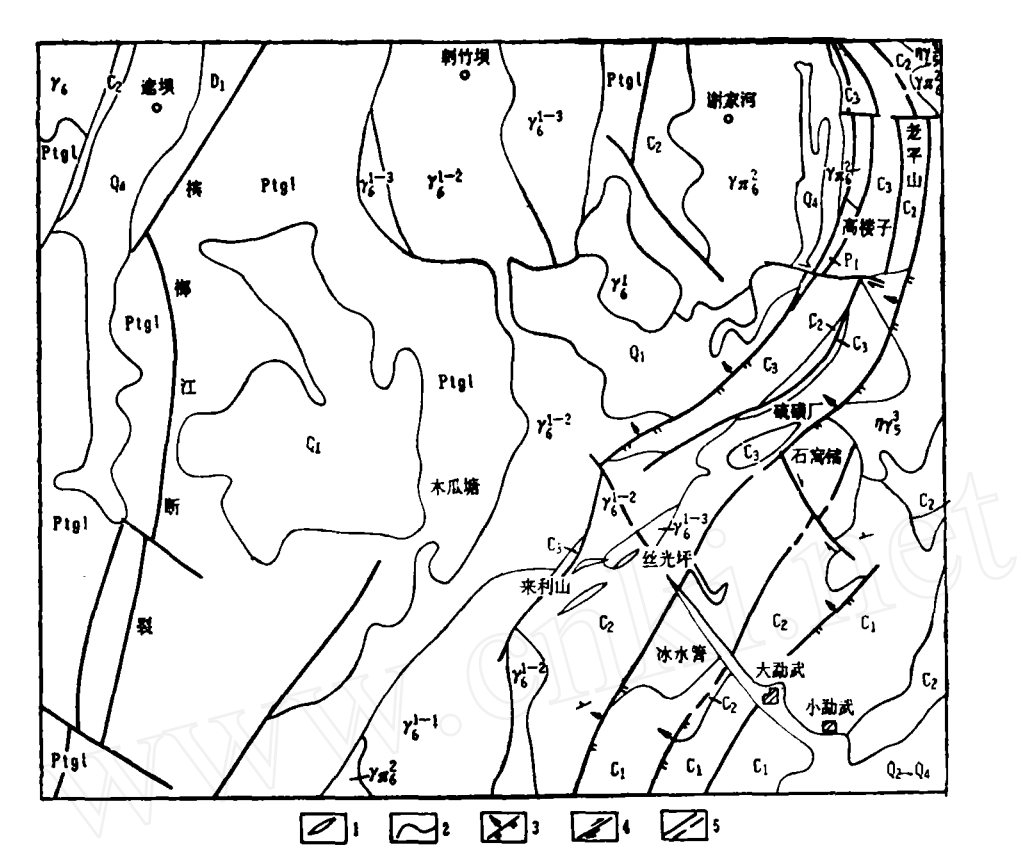


图 1 丝光坪锡矿区区域地质图

 Q_2, Q_4 一第四系砂、砾石、粘土, Q_1 一第四系辉石角闪石英安岩夹角闪安山岩, P_1 一二叠系白云岩, C_3 一上石炭统砂岩、板 岩 夹白 云 岩, C_2 一中石炭统砂岩夹板岩, C_1 一下 石 炭 统 粉 砂 岩, D_1 一下起盆统板 岩夹灰岩,Ptg1.一元古界 片岩、变粒岩、混合岩;Ya--喜山期花岗 岩;Ya-2---喜山期花岗斑岩;Yz-3--喜山期等 粒花岗 岩,丫鬟:一喜山期似斑状花岗岩,丫鬟:一 喜 山 期 租粒花岗岩, ガソ』 一燕山期二 长 花 岗 岩, 1 -锡矿 体, 2~地质界线, 3~正断层, 4~平推断层, 5~实例、推测性质不明断层

要为石英、蛋白石、长石、方解石、白云母、 绢云母。次有重晶石、绿泥石、自然硫等。 据矿物组合及结构、构造 特征,可分为锡 石一黄铁矿矿石、锡石一磁黄铁矿矿石、锡 石一蛋白石矿石 (表1)。现将主要有用矿物 特征叙述如下:

1. 锡石

呈浅棕褐色, 多呈他形一半自形,粒状、 柱状、放射状等。柱状者先晶出,具环带构 造, 粒径 0.066×0.22~0.11×0.44mm,最 大者达0.28×0.79mm。他形粒状者 较晚晶 出分布于半自形锡石的周围,粒径一般小于 0.1mm, 含量5~95%。锡石在 不同矿石类

型中,结构特征不一致,在早期黄铁矿阶段 生成的锡石多为半自形一自形,结晶较好, 常呈针状、锥柱状聚晶体嵌布于黄铁矿、石 英、或石英脉中,也有在黄铁矿与石英之间 的裂缝中,形成温度443℃。还 有 少量锡石 包于黄铁矿中。锡石嵌 布单 晶 粒 度一般在 0.01~0.035 m m, 粗的晶粒为0.09~ 0.11mm, 聚晶粒度为0.1~0.24mm士。而 较晚期形式的蛋白石锡矿石中的锡石多呈他 形一 显微粒状、尘点状、条纹状与蛋白石 相间分布,形成温度266℃。

从表1可以看出:

(1) 从锡石一磁黄铁矿矿石→锡石一

矿石类型	晶体形态	粒度 (mm)	颜 色	双晶	晶胞参数(A)	单位晶胞
银石一磁黄铁矿 矿石	他形一半自形、 粒状	0.05~1	浅棕、暗棕棕褐色,多色性弱, 环带构造常见	膝状双晶常见	$a_0 = 4.7369$ $c_0 = 3.1856$	71.4791
锡石一黄铁矿矿 石	半自形一自形、 短柱状、长柱状	0.09 × 0.06 ~0.65 × 0.29	棕色,棕褐色	具环带构造及 膝状 互晶	$a_0 = 4.7368$ $c_0 = 3.1865$	71.4873
锡石一蛋白石矿 石	针柱状、放射状、 他形、粒状、尘 点状	0.07 × 0.22, 0.005 ~ 0.4, < 0.005	无色、浅棕色, 多色性不明显	膝状双晶	$a_0 = 4.736$ $c_0 = 3.185$ $a_0 = 4.736$ $c_1 = 3.185$	71.4523

黄铁矿矿石→锡石-蛋白石矿石, 锡石结晶 程度逐渐降低,粒度逐渐变小,颜色变浅, 多色性变弱, 晶胞参数趋于减小, 形成温度 逐渐降低。

(2) 锡石单晶中颜色不均一,往往中 部深,边缘浅。通过对同一锡石晶体切面不 同颜色(环带)部分进行探针分析表明,颜 色深浅与铁含量有关,并是正相关关系,即 在锡石环带中, 随着铁含量增加, 环带颜色 变深,而与钛含量存在相反关系。

2. 木锡石

一般呈葡萄状集合体, 也可呈胶状和树 枝状。褐色, 无光性或光性不显著, 切面呈 圆形, 具同心层状构造、同心放射状构造。 可见在粒度较大的泥晶状锡石周围有细粒状 或长柱状的锡石呈有规律的相嵌, 即胶态木 锡石后期转变成锡石晶体。

3. 黄铁矿

含S53,40%, 为灰一灰白色, 金属光泽 他形一自形晶。据形态和产出特征不同大致 可分两期。第一期黄 铁矿 (PvI) 呈星散状 分布于矿体顶底板及围岩断裂带中, 多呈半 自形一自形,晶粒0.1~1mm,一般含量1~ 5%,分布较广。第二期黄铁 矿 (Py I) 又 可分两个阶段: 其中Py I-1 黄铁 矿 为暗灰 色、浅黄色,他形一自形,粒晶 0.2~1mm, 含量50~70%, 粒状集合体, 常与方解石、 石英共生,其晶出时间略有先后,一世代多 呈立方晶体自形晶,二世代为细粒他形分布 在前者周围。Py I-2黄铁矿 为 钢 灰一浅铜 黄色, 常呈他形粒状, 粒径0.005~0.1mm, 沿裂隙分布, 呈致密块体, 硬度稍低, 易氧 化成黑色粉末状、镜下颜色淡而微红,能谱 分析硫含量略低。常与方解石、石英相伴,

各类型锡矿石结构、构造特征表

表 2

矿石类型	矿石结构	矿石构造	矿物共	生 组 合	锡的赋存状态	
			主 要	次要		
锡石一磁黄铁	半自形、自形、	漫 染状细脉 浸	磁黄铁矿、锡石、	7 30 46 1.75 46	#9 T	
矿矿石	粒状	染状	黄铁矿	石英、粘土矿物 	锡 石	
锡石一黄铁矿	半自形一自形	浸 染状、条带	++ 64 Th		锡石	
84石	粒状,锥状体	状、块状	黄铁矿、锡石 	石英、方解石		
锡石一蛋白石	他形一半自形	浸染状、条纹状、	蛋白石、锡石、木 石英、绢云母、重		19 - 1,10 -	
矿石 "	尘点状、斑点状	条带状、块状	锡石	晶石	锡石、木锡石	

可见微量的黄铜矿。

4. 磁黄铁矿

含硫39~40%, 灰褐色, 金属光泽, 他形一半自形, 稠密浸染一致密块状, 常与石英共生, 与锡石相伴, 多产于矿体中, 含量50~90%。

矿石结构:据矿物结晶程度不同可分微 粒一细粒结构,局部为中粒结构,他形一自 形晶粒结构,带状结构,连晶结构、碎裂结 构、胶状结构等(表2)。

矿石构造:可分稀疏浸染状构造、细脉 浸染状构造,稠密浸染状构造,准块状一块 状构造,条纹条带状构造,角砾状构造、脉 状构造等。

矿床稳定同位素特征

1. 確同位置

试样采于矿体中的黄铁矿、磁黄铁矿,它 们 的 δ^{34} S % 为 5.12~5.89%。 平 均 5.49%, 32 S/ 34 S值 22.090~22.170, 平 均 22.093,分布范围很窄,与陨石硫数据接近,说明高温岩浆硫同位素有较完整的均一化作用,并表明硫来源于花岗岩浆。据云南地科所研究,本区的黄铁矿、磁 黄 铁 矿 δ^{34} S 分布范围略有扩大,从+5~-3.8%。并出现重晶石。成矿热液体系除 H_2 S外,还有少量 SO_4^{1-} 。这与腾冲高压汽泉的 自 然 硫、黄铁矿的硫同位素相似,表明本区硫同位素可能与次火山气液形成的硫同位素近似。

2. 氯同位素

矿石中矿物的 δ¹⁸O‰, 石英9.6。锡石0.7, 石英一锡石8.9。氧同位素平衡温度石英一锡石293℃。石英δ¹⁸O‰值近于 花岗斑岩、凝灰岩氧同位素值,表明本区氧同位素可能与喷发岩近似。

矿物包裹体特征

1. 矿物气一液包裹体的类型和形态 特征

本区各类矿石的矿物中有大量成矿流体的包裹体,其成因类型有原生包裹体、次生包裹体和似次生包裹体。据观察除沿方解石裂隙分布有次生包裹体外,其他矿物中主要属原生包裹体和似次生包裹体。因此本区矿石中所获包裹体研究资料,基本可以代表成矿流体的性状。

据矿石矿物中气液包裹体的物理状态可分:气相(V)包裹体、纯液相(L)包裹体,气液相(V)包裹体、纯液相(L)包裹体。多相包裹体中间发育有含NaCl子晶包裹体(S)和含液相(CO₂)包裹体。包裹体形态一般呈不规则状、浑圆状、圆柱状及负晶状。多成群均匀密集分布,部分呈星散状。次生包裹体沿矿物裂隙分布。粒径一般在0.01mm以下,少数达0.02~0.05mm。以气液包裹体为主,气相、纯液相及三相包裹体所占比例较少。

2. 成矿温度、压力和流体的盐度、密度

本区矿石主要形成于高温阶段,均一温度310~460℃;锡石一蛋白石阶段,均一温度为181~160℃。

据矿物包裹体研究表明,矿石是高盐度流体,平均盐度为29.9~35.4wt%,局部可达50.8wt%。流体压力760~950Pa。密度0.87~0.98g/cm³。据上覆围岩2.52~2.73g/cm³ 计,则岩石静压力以270Pa/km向深部递增,计算本区成矿深度为1.4km左右。

成矿期及矿床成因

1. 成矿期、成矿阶段

据本区地质特征可分为3个成矿期5个 成矿阶段。

(1)高一中溫成矿期 是本区主要成矿期,按矿物组合可分两个阶段:即锡石一黄铁矿阶段和锡石一磁黄铁矿阶段;前者分布于浅一深部,后者分布于深部。锡的富集程度由弱到强,成矿流体性质由弱碱性变成

료酸性。成矿温度205~456℃。

- (2) 中一低温成矿期 是本区重要成 矿期,据矿物组合可分两个阶段:锡石一蛋 白石阶段和锡石一黄铁矿、方解石阶段。锡 的富集程度由强到弱, 成矿溶液性质由酸性 变成碱性,成矿温度143~217℃。
- (3) 表生期 矿体形成后,矿石遭受 后期氧化作用,即硫化矿变成氧化矿。

2. 矿床成因及投矿标志

在具有贯穿性的构造条件下,当残浆退 化沸腾时形成隐爆角砾岩 筒、岩 墙 的 情况 下,从多体系混合残浆中,含矿气化热液迁移 至岩体外北西向断裂及东西向裂隙中,在容 矿构造空间, 围压骤减, 含矿流体发生减压 沸腾,而含锡络合物不稳定,在酸性前锋中 首先形成锡石、石英、白云母。继之碱化溶 液在较低温下产生锡石、石英、黄铁矿。随 着温度降低,碱化溶液进一步解体便形成了 锡石、木锡石、蛋白石。据矿石中泥晶状木 锡石与锡石共生,形态呈逐渐演化的特点, 可以断定矿床形成初期, 高一中温热液阶段 为锡石黄铁矿矿石,次为中一低温锡石一蛋 白石矿石后, 再次又受较温热液作用叠加改 造, 木锡石重结晶形成部分高温型锡石, 所 以高低温锡石共生。据此推断、本区中一低 温热液阶段曾发生过富硅、富锡的胶体溶液 成矿作用,进一步显示了花岗岩浆的次火山 作用与成矿关系密切。目前地表初露头角的 锡石一蛋白石锡矿体, 笔者认为就是在花岗 **班岩强蚀变矿化产物**,预示深部有较大次火 山岩体存在, 值得深入追索工作(图2)。

本区属于与次火山岩有关的,在相对开 放钙、硅酸盐岩围岩环境下形成的高一中温 锡石—硫化物型及中低温锡石—蛋白石型复 合叠加的锡矿床。

找矿标志及前景

北西向断裂是本区找锡矿间接标志,而 褪色的砂岩、板岩、碎裂岩、石英岩、黑色 炭质板岩、糜棱岩是找锡的直接标志。地表 出现褐铁矿及褐色砂土及高岭土时,就可进 一步追索和圈定锡矿体。而硅化、黄铁矿化 较强部位大都预示有锡矿体存在。

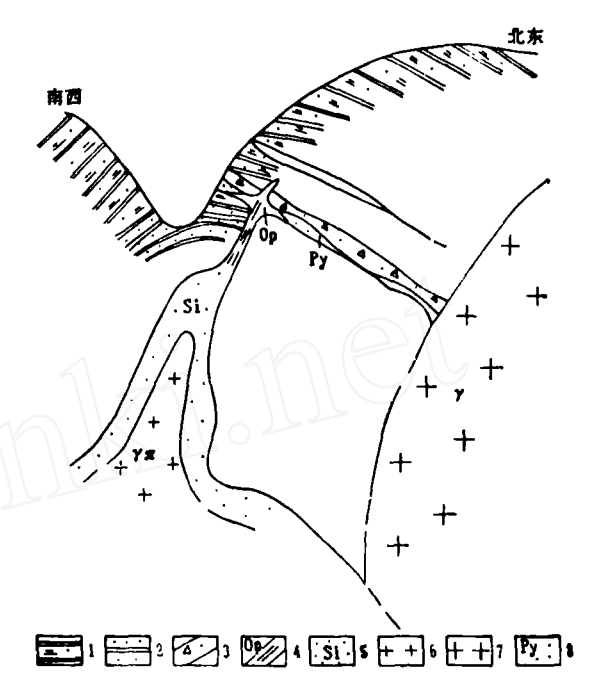


图 2 丝光坪锡矿成矿理想模式图

1-板岩; 2-砂岩; 3-角砾岩; 4-蚀变带 (Si), 5-花岗斑岩 (Yπ), 6-花岗岩 (Y), 7-蛋白石型锡矿体 (Op), 8-黄铁矿型 锡石 矿体 (Py)

矿区地质条特好,成矿有利,是进一步 找矿最佳地段。地表锡矿体赋存于近南北向 背斜东翼北西向缓倾斜复式断裂带中,呈似 层状多层产出、为锡石一硫化物型,目前仅 . 对下层矿V4矿体深部未控制 完 的 情况下就 已达中型以上规模;若深部继续追索,再加 上其他矿体的深入工作,其储量还可大幅度 增加。而产于V4矿体中部近东西 向 陡 倾斜 脉状锡石-蛋白石型富锡矿体, 矿物组合、 结构、构造比较特殊,推测是次火山岩强蚀 变矿化产物。总之,本区地质条件好,又属 来利山大型锡矿外围,若深入工作,前景可 观。